

## ■ EXTENSÃO DE KAUSSKALL E ESTRUTURA CAUSA

Alguns fatos vistos até agora:

- (i) Há limites superiores para  $GM/R$  que objetos em equilíbrio estático podem ter;
- (ii) Colapso da superfície do objeto esférico leva um tempo infinito p/ atingir  $r = 2GM$  de acordo com observadores estáticos fora do objeto, mas leva um tempo-próprio finito de acordo com a superfície do objeto;
- (iii) A métrica exterior de Schwarzschild parece "problemática" p/  $r \leq 2GM$ .

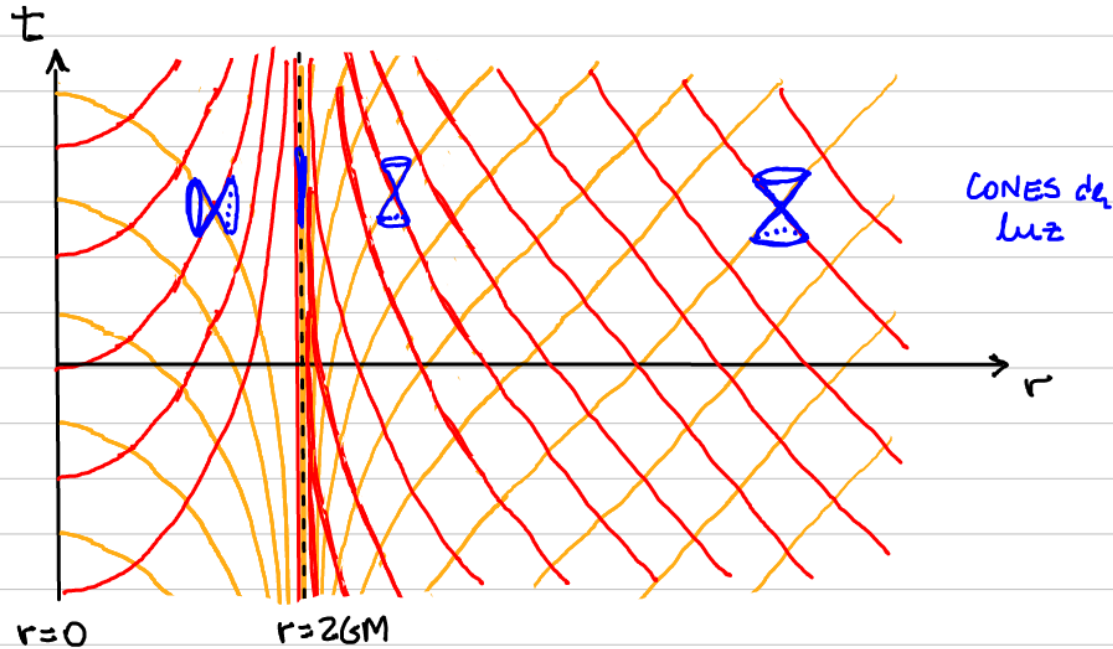
Por décadas o pensamento padrão foi que seria impossível um objeto de massa  $M$  colapsar para valores menores que seu raio de Schwarzschild ( $2GM$ ). O ponto (iii) juntamente com a 1ª parte do ponto (ii) eram usados p/ sustentar isso. No entanto, trabalhos como o de Oppenheimer & Snyder de 1939 e, principalmente, o reconhecimento da 2ª parte do ponto (ii) mudaram a visão da comunidade, de modo que na década de 1960 a ideia de um "objeto" colapsado p/ uma região menor que seu raio de Schwarzschild (os BURACOS NEGROS) passaram a fazer parte do hall de candidatos p/ explicar observações astrofísicas. (Curiosamente, tudo indica que Einstein morreu, em 1955, sem acreditar na realidade física de BURACOS NEGROS.)

Uma vez admitindo a existência de "objetos" colapsados p/ regiões  $r < 2GM$ , é necessário entendermos o aparente "problema" dessas regiões no elemento-de-linha de Schwarzschild. Para isso, usaremos raios de luz (raíais) p/ explorar o espaço-tempo.

• Raios de luz radiais

$$0 = ds^2 = -\left(1 - \frac{2GM}{r}\right) dt^2 + \frac{dr^2}{\left(1 - \frac{2GM}{r}\right)} \Leftrightarrow \begin{cases} r = ct = 2GM \\ \frac{dr}{\left(1 - \frac{2GM}{r}\right)} = \pm dt \end{cases} \Leftrightarrow$$

$$\Leftrightarrow \begin{cases} r(t) = 2GM \\ r(t) + 2GM \ln \left| \frac{r(t)}{2GM} - 1 \right| = \pm t + C \end{cases}$$



Claramente, NA coordenada  $t$  (que representa o tempo de observadores estáticos no infinito) os raios de luz NUNCA cruzam a esfera  $r = 2GM$  (e raios de luz em  $r(t) = 2GM$  estão aprisionados nessa esfera). Porém, vimos numa aula anterior que  $t$  NÃO é um parâmetro afim das geodésicas radiais tipo-luz; Na verdade, a própria coordenada radial  $r$  é um parâmetro afim (exceto p/  $r = 2GM$ ). Logo, todos os raios de luz NA região  $r > 2GM$  podem ser estendidos p/ a região  $r < 2GM$  e VÍCE-VERSA.

- Coordenadas de Eddington-Finkelstein

DA EQUAÇÃO HORÁRIA DE RAIOS DE LUZ ENCONTRADA ACIMA, VEMOS QUE CADA VALOR DA CONSTANTE  $C$  DETERMINA UM RAIOS DE LUZ DIFERENTE (p/ cada escolha de sinal  $\pm$  em  $t$ ). Portanto, definindo as funções

$$v(t, r) := t + r + 2GM \ln \left| \frac{r}{2GM} - 1 \right|,$$

$$u(t, r) := t - r - 2GM \ln \left| \frac{r}{2GM} - 1 \right|,$$

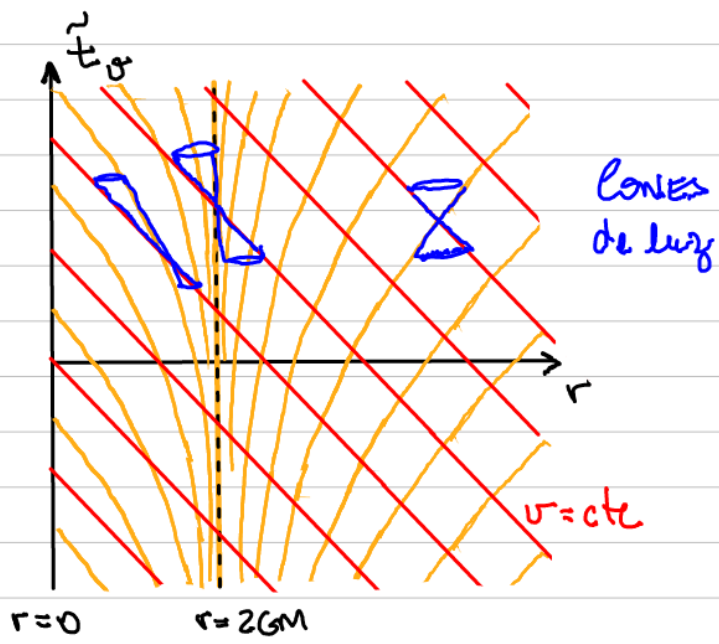
$v = ct$  representam os raios de luz que em  $r > 2GM$  são "ingressos" e  $u = ct$ , representam os raios de luz que em  $r > 2GM$  são "saídas". Assim, definindo duas novas opções de coordenada temporal,

$$\tilde{t}_v := v - r,$$

$$\tilde{t}_u := u + r,$$

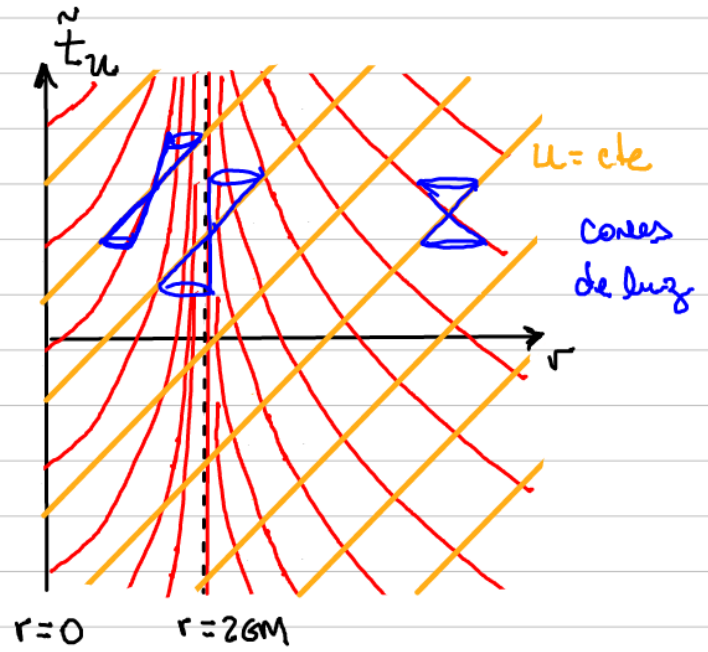
Vemos que raios de luz "ingressos" em  $r > 2GM$  (i.e.,  $v = ct$ ) são retas com coeficiente angular  $-1$  num diagrama  $r \times \tilde{t}_v$ , enquanto raios de luz "saídas" em  $r > 2GM$  são retas com coeficiente angular  $+1$  num diagrama  $r \times \tilde{t}_u$ . Essas coordenadas,  $\{\tilde{t}_v, r\}$  e  $\{\tilde{t}_u, r\}$ , são frequentemente denominadas coordenadas de Eddington-Finkelstein, e elas são ideais p/ mostrar que o aparente "problema" em  $r = 2GM$ , que aparece nas coordenadas de Schwarzschild, se deve a uma escolha ruim de sistema de coordenadas. De fato, abaixo ilustramos os resultados, nessas coordenadas, do diagrama feito anteriormente, assim como a expressão do elemento-de-linha (FAÇAM COMO EXERCÍCIO!):

$$ds^2 = -\left(1 - \frac{2GM}{r}\right) dt_v^2 + \frac{4GM}{r} dt_v dr + \left(1 + \frac{2GM}{r}\right) dr^2 + r^2(d\theta^2 + \sin^2\theta d\phi^2)$$



Note que nessas coordenadas  $\{(t_v, r)\}$  fica claro que a região  $r < 2GM$  NÃO é causalmente desconectada de  $r > 2GM$  (como poderia parecer nas coordenadas  $\{(t, r)\}$ ). Além disso, nessas coordenadas o comportamento dos cones de luz deixa claro que a região  $r < 2GM$  é influenciada NÃO pode influenciar a região  $r > 2GM$ ; nada pode **ESCAPAR** dessa região  $r < 2GM$  e tudo que nela **ADENTRA** é inexoravelmente "empurrado" p/  $r=0$ .

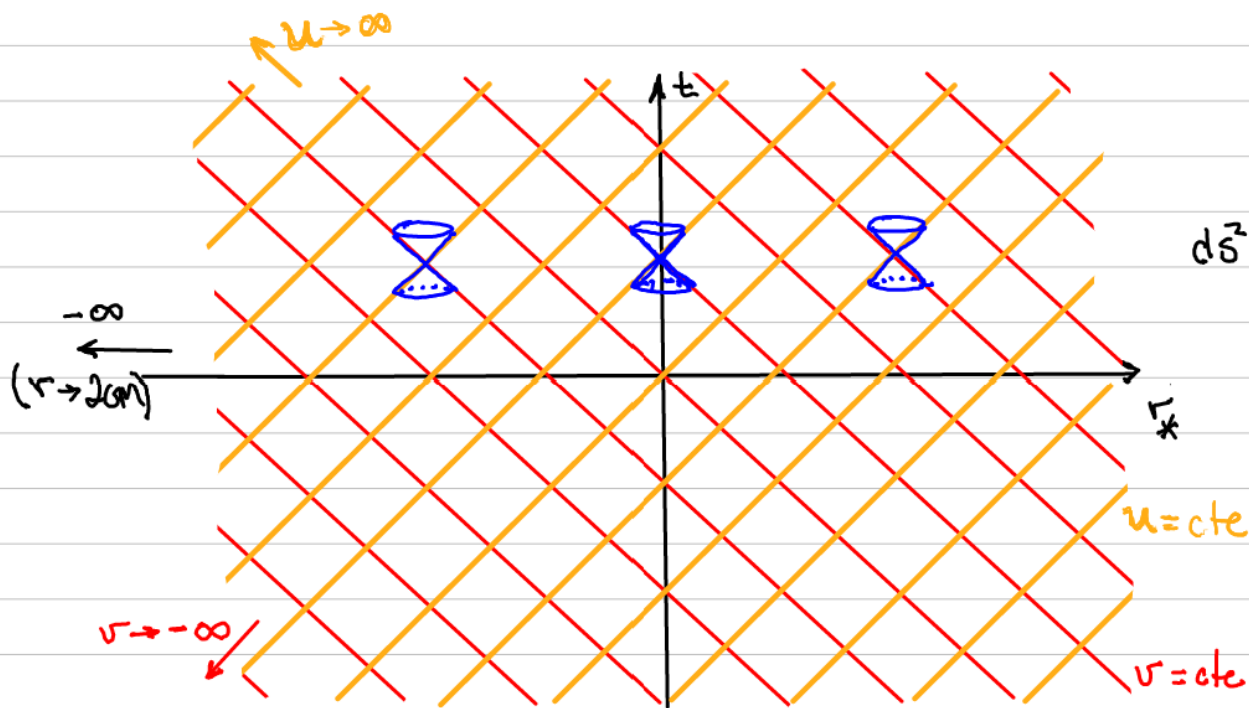
$$ds^2 = -\left(1 - \frac{2GM}{r}\right) dt_u^2 - \frac{4GM}{r} dt_u dr + \left(1 + \frac{2GM}{r}\right) dr^2 + r^2(d\theta^2 + \sin^2\theta d\phi^2)$$



Note que nessas coordenadas  $\{(t_u, r)\}$  fica claro que a região  $r < 2GM$  NÃO é causalmente desconectada de  $r > 2GM$  (como poderia parecer nas coordenadas  $\{(t, r)\}$ ). Além disso, nessas coordenadas o comportamento dos cones de luz deixa claro que a região  $r > 2GM$  é influenciada NÃO pode influenciar a região  $r < 2GM$ ; nada pode **ENTRAR** nessa região  $r < 2GM$  e tudo nela, **VINDO** de  $r=0$ , é inexoravelmente "empurrado" p/  $r > 2GM$ .

- Coordenada "tartaruga" ("tortoise")

A vantagem das coordenadas de Eddington-Finkelstein é deixar clara a relação causal entre diferentes regiões, ao "endireitar" os raios de luz ("ingoing" ou "outgoing", um de cada vez), representando-os como retas a 45°. Na tentativa de "endireitar" ambos os conjuntos de raios de luz, podemos definir como coordenadas as combinações  $(u+v)/2 (= t)$  e  $(v-u)/2 (= r + 2GM \ln|r/2GM - 1| =: r_*)$ . Nessas coordenadas  $\{t, r_*\}$  os raios de luz radiais são, por construção, representados por retas a  $\pm 45^\circ$ . No entanto, o preço pago para isso foi "jogar" a esfera  $r=2GM$  p/  $r_* = -\infty$ ; ou seja, a região  $r > 2GM$  é mapeada na região  $-\infty < r_* < \infty$ , sendo a região próxima a  $r=2GM$  expandida infinitamente. Essa coordenada radial  $r_*$  é chamada de coordenada de "tartaruga".



$$ds^2 = \left(1 - \frac{2GM}{r_*}\right) (-dt^2 + dr_*^2) + r(r_*)^2 (d\theta^2 + \sin^2\theta d\varphi^2),$$

onde  $r(r_*)$  é a inversa da função  $r_*(r) = r + 2GM \ln\left|\frac{r}{2GM} - 1\right|$ .

## • COORDENADAS DE KRUSKAL - SZEKERES

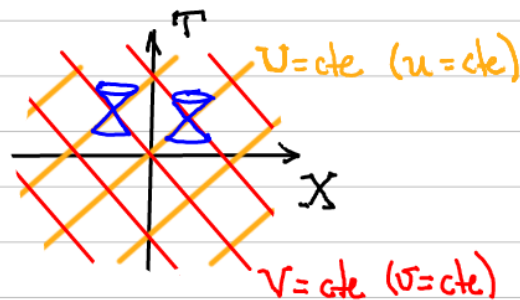
O procedimento de escolher coordenadas nos eixos os cones de luz ficam orientados da maneira "padrão", como nas coordenadas de "tartaruga", ajuda a analisar a estrutura causal do espaço-tempo. No entanto, o mapeamento de  $r = 2GM$  em  $r^* = -\infty$  não reflete o fato que a região  $r < 2GM$  é causalmente conectada com a região  $r > 2GM$  (como mostrada pelas coordenadas de Eddington-Finkelstein). A ideia, então, será manter a orientação dos cones de luz mas trazer de volta  $r = 2GM$  p/ uma região (coordenada) finita.

Para manter a orientação dos cones de luz, basta definirmos funções  $U(u)$  e  $V(v)$  e, então, definir novas coordenadas

$$T := \frac{V+U}{2},$$

$$X := \frac{V-U}{2}.$$

Assim,  $v = ct_e \Rightarrow \bar{V} = ct_e \Rightarrow T = -X + ct_e$ ,  $u = ct_e \Rightarrow U = ct_e \Rightarrow T = X + ct_e$ .



Por outro lado, p/ trazer  $r = 2GM$  p/ um valor finito de coordenadas  $T$  e  $X$  é necessário trazer  $v = -\infty$  e  $u = +\infty$  p/ valores finitos de  $V$  e  $U$ . Uma maneira natural de se conseguir isso é a seguinte:

$$V(v) := (2GM) e^{v/4GM} = e^{(t+r)/4GM} \sqrt{2GM} \sqrt{r-2GM}, \quad r > 2GM$$

$$U(u) := -(2GM) e^{-u/4GM} = -e^{(r-t)/4GM} \sqrt{2GM} \sqrt{r-2GM}, \quad r > 2GM$$

Com isso,

$$T = \sqrt{2GM} \sqrt{r-2GM} e^{r/4GM} \sinh(t/4GM), \quad r > 2GM,$$

$$X = \sqrt{2GM} \sqrt{r-2GM} e^{r/4GM} \cosh(t/4GM), \quad r > 2GM.$$

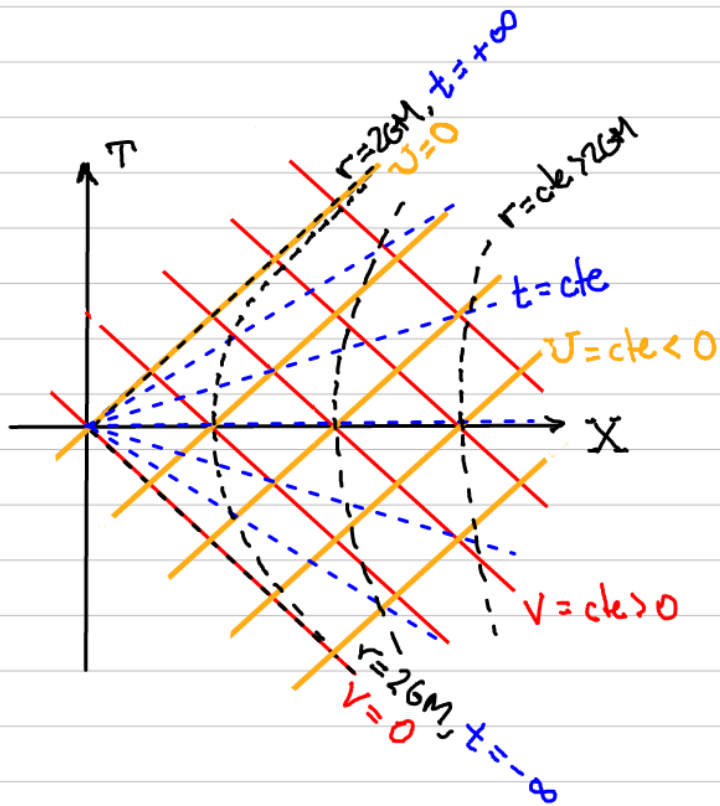
Nessas coordenadas (Kruskal-Szekeres), o elemento-de-linha assume a forma (mostre isso como Exercício):

$$ds^2 = \frac{8GM}{r(T,X)} e^{-r(T,X)/2GM} (-dT^2 + dX^2) + r(T,X)^2 (d\theta^2 + \sin^2\theta d\varphi^2), \quad r(T,X) > 2GM$$

onde  $r(T,X) > 2GM$  é dado implicitamente por (mostre!)

$$\left[ \frac{r(T,X)}{2GM} - 1 \right] e^{r(T,X)/2GM} = \frac{X^2 - T^2}{(2GM)^2}.$$

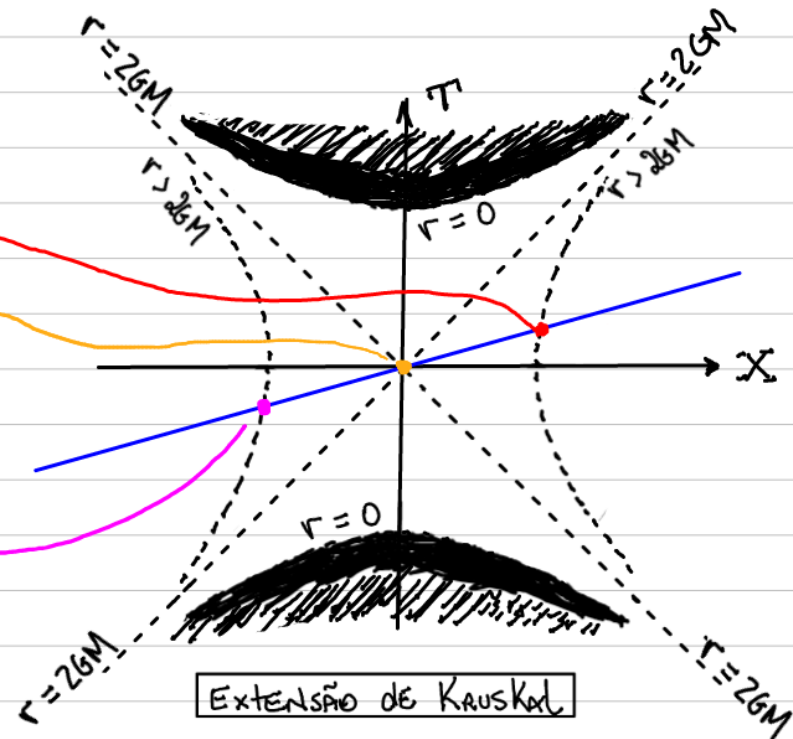
Ou seja,  $r = \text{cte} > 2GM$  são hipérbolas nas coordenadas  $\{(T,X)\}$ . Além disso,  $t = \text{cte}$  são semi-retas:  $T = \tanh(\pm/4GM) X$ .



Embora as coordenadas  $V$  e  $U$  acima tenham sido definidas p/  $V > 0$  e  $U < 0$  — portanto,  $T$  e  $X$  devem ser definidas p/  $X > |T|$  —, o elemento-de-linha acima não apresenta nenhum problema através de  $U=0$  e  $V=0$  ( $r=2GM$ ) e para valores de  $T$  e  $X$  tais que

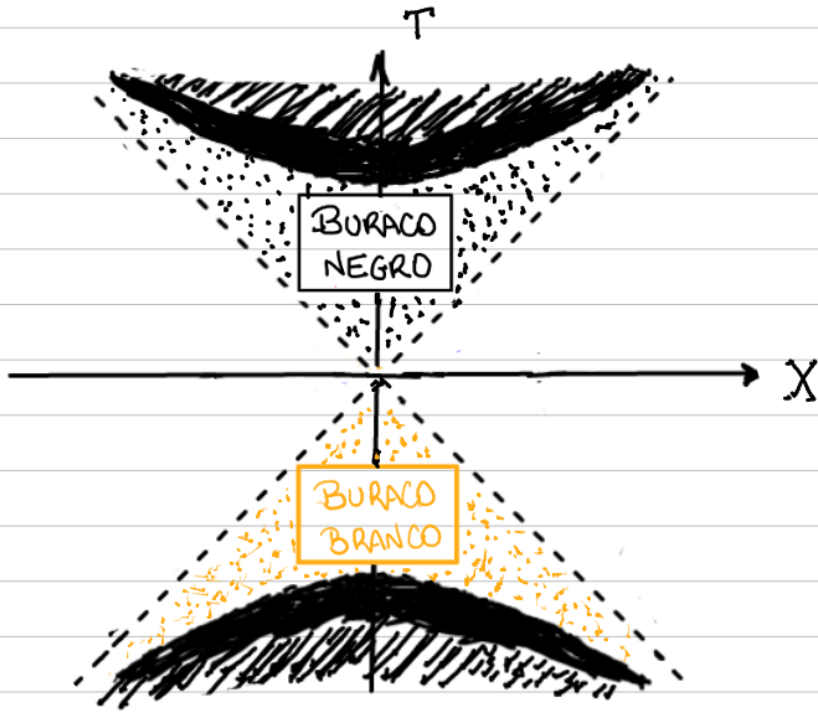
$$-(2GM)^2 < X^2 - T^2 \leq 0 \quad (0 < r \leq 2GM)$$

Portanto, o elemento-de-linha de Schwarzschild nas coordenadas de Kruskal-Szekeres  $\{(T, X, \theta, \varphi)\}$  pode ser estendido p/ toda a região  $X^2 > T^2 - (2GM)^2$ :

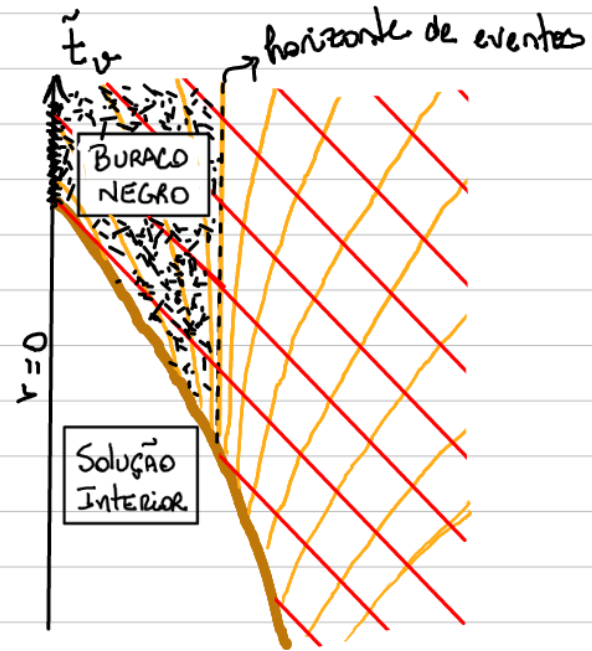
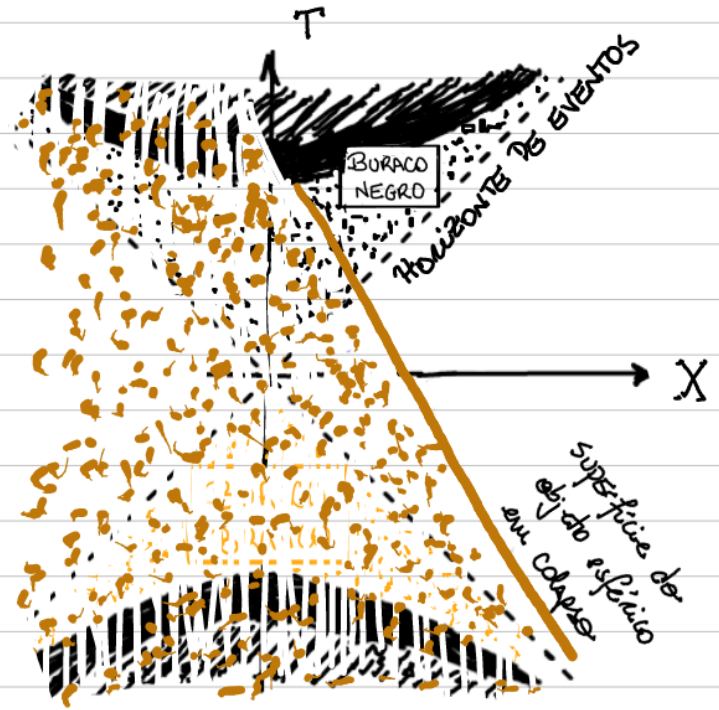




# BURACO NEGRO ETERNO



# BURACO NEGRO FORMADO EM COLAPSO (ESFÉRICO)



## • Estrutura causal: Diagrama conforme (de Penrose)

Uma forma ainda mais útil para analisar a estrutura causal do espaço é através dos chamados diagramas de Penrose, que são diagramas conformes (i.e., cones de luz, orientados como em espaço plano), trazendo p/uma região limitada as regiões ilimitadas do espaço-tempo, inclusive incluindo fronteiras a essas regiões limitadas (compactificação).

Repetindo a ideia de usar funções de  $u$  e  $v$ , separadamente, uma função promissora é  $\arctan$ , que mapeia as regiões  $(-\infty, 0)$  e  $(0, +\infty)$  em  $(-\pi/2, 0)$  e  $(0, \pi/2)$ , respectivamente:

$$\bar{v} := \arctan(v/2GM) \Rightarrow d\bar{v} = \frac{2GM dv}{(2GM)^2 + v^2} = \frac{\cos^2(\bar{v}) dv}{2GM}$$

$$\bar{u} := \arctan(U/2GM) \Rightarrow d\bar{u} = \frac{2GM dU}{(2GM)^2 + U^2} = \frac{\cos^2(\bar{u}) dU}{2GM}$$

Com isso,  $-dT^2 + dX^2 = -dVdU = -\frac{(2GM)^2 d\bar{v} d\bar{u}}{\cos^2(\bar{v}) \cos^2(\bar{u})}$ , de modo que, mais uma vez definindo as coordenadas

$$\bar{t} := \frac{\bar{v} + \bar{u}}{2}, \quad \bar{x} := \frac{\bar{v} - \bar{u}}{2},$$

o elemento-de-linha assume a forma

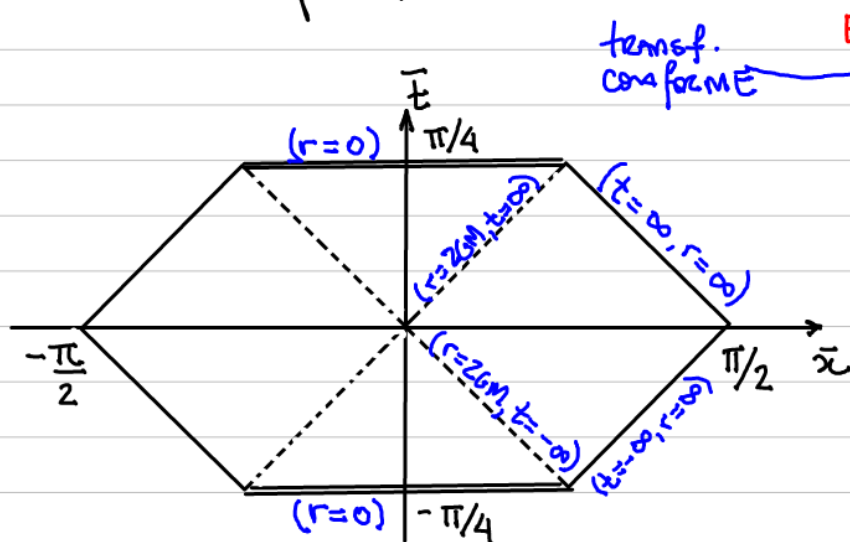
$$ds^2 = \frac{32GM^3 e^{-r(\bar{t}, \bar{x})/2GM}}{r(\bar{t}, \bar{x}) \cos^2(\bar{t} + \bar{x}) \cos^2(\bar{t} - \bar{x})} (-d\bar{t}^2 + d\bar{x}^2) + r(\bar{t}, \bar{x})^2 (d\theta^2 + \sin^2\theta d\varphi^2),$$

onde  $r(\bar{t}, \bar{x})$  satisfaz  $\left(\frac{r(\bar{t}, \bar{x})}{2GM} - 1\right) e^{r(\bar{t}, \bar{x})/2GM} = -\tan(\bar{t} + \bar{x}) \tan(\bar{t} - \bar{x})$ . (Entenda o porquê.)

Novamente, embora  $\bar{t}$  e  $\bar{x}$  tenham sido definidas p/  $0 \leq \bar{t} < \pi/2$  e  $-\pi/2 < \bar{x} \leq 0$ , o elemento-de-linha acima é bem definido para qualquer valor  $\bar{t} \in (-\pi/2, \pi/2)$  e  $\bar{x} \in (-\pi/2, \pi/2)$  desde que  $r(\bar{t}, \bar{x}) \neq 0$ .

**Exercício:** Mostre que  $r=0 \Leftrightarrow \bar{t} = \pm \pi/4$ .

Com isso, nas coordenadas  $\{\bar{t}, \bar{x}\}$  o espaço-tempo (estendido) de Schwarzschild é representado como:



Esse diagrama munido do elemento-de-linha (não-físico)

$$d\bar{s}^2 := \Omega^2(\bar{t}, \bar{x}) ds^2 = -d\bar{t}^2 + d\bar{x}^2 + \Omega^2(\bar{t}, \bar{x}) r^2(\bar{t}, \bar{x}) (d\theta^2 + \sin^2\theta d\varphi^2)$$

(onde  $\Omega^2$  é a função positiva apropriada inferida pela igualdade, com  $\Omega^2=0$  APENAS NA FRONTEIRA DO DIAGRAMA) é vigorosamente causalmente equivalente ao espaço-tempo físico que ele representa — mesmo p/ raios de luz não radiais. Nesse diagrama compactificado conforme, denominado diagrama de Penrose, as fronteiras são incluídas ( $r=0, t=\pm\infty$ ).